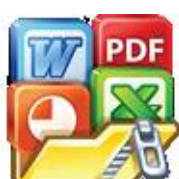


DAFTAR PUSTAKA

- Ahmad, W. 2008. *Fundamentals of Chemistry, Mineralogy, Weathering Processes, and Laterites Formations and Explorations*. Unpublished.
- Bidang Akademik & kemahasiswaan Fakultas Teknik Unhas. 2023. Buku Pedoman Penulisan Skripsi. Gowa: Fakultas Teknik UNHAS.
- Brand, N.W., Butt, C.R.M. dan Hellsten, K.J. 1998. *Structural and lithological controls on the formation of the Cawse nickel laterite deposits, Western Australia—implications for supergen ore formation and exploration in deeply weathered terranes*. Melbourne: Australasian Institute of Mining and Metallurgy Publication Series 6/96, p. 185–190.
- Burger, P. A. (1996). *Origins and Characteristics of Lateritic Deposits In: Proceeding Nickel*.The Australian Institute of Mining and Metallurgi. 96:179-183
- Butt, C.R.M., dan Cluzel, D. 2013. *Nickel Laterite Ore Deposits: Weathered Serpentinites*. An international Magazine of Mineralogy, Geochemistry, and Petrology, Vol. 9, 123-128.
- Butt, C.R.M., dan Morris, R.C. 2005. *Ore-Forming Processes Related to Lateritic Weathering*. Society of Economic Geologists, Inc. Economic Geology 100th Anniversary Volume p. 681–722.
- Cahit, H., Selahattin, K., Necip G, Tolga Q, Ibrahim G, Hasan S, Osman P., 2017. *Mineralogy and genesis of the lateritic regolith related Ni-Co deposit of the Çaldağ area (Manisa, western Anatolia), Turkey*. Canadian Journal of Earth Sciense.
- Elias, M., 2002. *Nickel Laterite Deposits-Eological Overview, Resources And Exploitation, In Giant Ore Deposit: Characteristics, Genesis And Exploration*. Centre Ore Deposit Res., Univ. Tasmania, Spec. Pub 4, 205-220
- Freyssinet, P., C.R.M Butt, R.C Morris, dan P Piantone, 2005. *Ore-Forming Processes Related to Lateritic Weathering*. Economic Geology 100th Anniversary volume, pp 681-722.
- Gleeson, A.S., Butt, C.R.M, Elias, M. 2003. *Nickel Laterites: A Review*. SEG (Society of Economic Geologist). Newsletter, No. 54, pp 9-16.
- Golightly, J. P.1979. *Geology of Soroako nickeliferous laterite deposit*. Ontario, Canada: INCO Metals Company.
- ; J. P. 1981. *Nickeliferous Laterite Deposits*. Economic Geology (75th Anniv.), pp. 710-735



- Kadarusman, A., Miyashita, S., Maruyama, S. & Parkinson, 2004. *Petrology, Geochemistry and Paleogeographic Reconstruction of the East Sulawesi Ophiolite, Indonesia*. Tectonophysics, Volume 392, pp. 55-83.
- Kamaruddin, H. 2018. Profil Endapan Laterit Nikel Di Pomalaa, Kabupaten Kolaka, Provinsi Sulawesi Tenggara. Buletin Sumber Daya Geologi Volume 13 Nomor 2 – 2018.
- Kurniadi, A., Rosana, F. M., Yuningsih, T. E., Pambudi, L., 2017. Karakteristik Batuan Asal Pembentukan Endapan Nikel Laterit Di Daerah Madang dan Serakaman Tengah. Padjadjaran Geoscience Journal, 1(2).
- Kusuma R A I, Kamaruddin H, Rosana M F, dan Yuningsih E T, (2019), Geokimia Endapan Nikel Laterit di Tambang Utara, Kecamatan Pomalaa, Kabupaten Kolaka, Provinsi Sulawesi Tengara. Jurnal Geologi dan Sumberdaya Mineral, 20(2), hal 85–92.
- Marsh, E.E. dan Anderson, E.D. 2011. *Ni-Co laterite deposits*. U.S. Geological Survey Open-File Report 2011–1259, 9 p.
- Meirawaty, M., Dita, R., dan Cahyaningratri (2021). Buku Ajar: *Mineralogi*. Banyumas: Media Zahira Publisher.
- Nahon, D., Colin, F., Trescases, J. J. & Melfi, A. J., 1990. *Lateritic Weathering of Pyroxenites at Niquelandia, Goias, Brazil: The Supergene Behavior of Nickel*. Economic Geology , Volume 85, pp. 1010-1023 .
- Roqué-Rosell, J., Mosselmans, J. F. W., Proenza, J. A., Labrador, M., Galí, S., Atkinson, K. D., Quinn, P. D., 2010. *Sorption of Ni by “Lithiophorite–Asbolane” Intermediates in Moa Bay Lateritic Deposits, Eastern Cuba*. Chemical Geology, Volume 275, p. 9 – 18.
- Simandjuntak, TO., Surono, Hadiwijoyo, S, A., 1993. *Geologi Lembar Kolaka, Sulawesi Skala 1:250.000*. Pusat Penelitian dan Pengembangan Geologi.
- Sutisna, D.T., dkk. 2006. *Perencanaan Eksplorasi Cebakan Nikel Laterit di Daerah Wayamli, Teluk Buli, Halmahera Timur sebagai Model Perencanaan Eksplorasi Cebakan Nikel Laterit di Indonesia*. Buletin Sumber Daya Geologi. Volume 1. Nomor 3.
- Tardy, Y., 1997. *Petrology of Laterites and Tropical soil*. Amsterdam: Balkema.
- Tonggiroh, A., Mustafa, M., dan Suharto. 2012. Analisis Pelapukan Serpentin dan Endapan Nikel Laterit Daerah Pallangga Kabupaten Konawe Selatan Sulawesi Tenggara. Prosiding 2012 Hasil Penelitian Fakultas Teknik. Makassar: Universitas Hasanuddin.
- , J. J., 1975. *Levolution Géochimique Supergene des Roches Ultrabasiques en Zone Tropicale; Formations des Gisements Nickelifères de Nouvelle-Caledonie*. Paris, ORSTOM Mem. 78.



- Van Bemmelen, R. W. (1949). *The Geology of Indonesia Vol IA*. The Hague: Martinus Nijhoff.
- Wilson, M., 1989. *Igneous Petrogenesis : a Global Tectonoc Approach*. London (Unwin Hym)
- Yıldırım, H., Turan, A. and Yücel, O., 2012. *Nickel pigiron (NPI) production from domestic lateritic nickelores using induction furnace*. International Iron& Steel Symposium, 02-04 April 2012, Karabük, Türkiye, p. 337-344.



LAMPIRAN



Optimized using
trial version
www.balesio.com

Hasil Analisis XRF

KODE SAMPLE	Analisa Unsur (%)								Fe/Ni	S/M	BC	KET
	Ni	Co	Fe	SiO ₂	CaO	MgO	Cr ₂ O ₃	Al ₂ O ₃				
ST-SL01	1.00	0.11	39.66	8.13	0.07	2.83	2.65	12.05	39.66	2.87	0.35	LIM
ST-SL02	0.86	0.08	40.74	9.05	0.07	2.82	2.69	13.13	47.37	3.21	0.32	LIM
ST-SL03	0.67	0.09	40.42	4.12	0.07	2.69	2.58	14.63	60.33	1.53	0.67	LIM
ST-SL04	0.52	0.06	34.74	13.81	0.07	2.52	2.00	21.39	66.81	5.48	0.19	LIM
ST-SL05	0.60	0.09	40.90	4.52	0.07	2.75	2.55	15.57	68.17	1.64	0.62	LIM
ST-SL06	1.00	0.12	42.60	8.30	0.07	2.96	2.75	9.25	42.60	2.80	0.36	LIM
ST-SY01	1.46	0.12	38.73	12.45	0.07	4.08	3.35	8.45	26.53	3.05	0.33	TRS
ST-SY02	1.29	0.09	36.81	13.66	0.09	4.53	3.43	7.92	28.53	3.02	0.34	TRS
ST-SY03	0.83	0.10	33.32	20.40	0.08	3.29	1.97	11.86	40.14	6.20	0.16	TRS
ST-SY04	1.38	0.09	37.05	16.25	0.10	3.57	3.03	5.85	26.85	4.55	0.22	TRS
ST-SY05	0.85	0.11	27.53	30.81	0.08	4.07	2.23	7.79	32.39	7.57	0.13	TRS
ST-SY06	0.99	0.06	21.66	37.47	0.53	9.88	1.83	6.97	21.88	3.79	0.27	TRS
ST-SY07	1.16	0.06	26.14	29.36	0.09	3.68	1.86	5.17	22.53	7.98	0.13	TRS
ST-SS01	1.64	0.04	14.79	42.36	1.23	16.82	1.46	3.67	9.02	2.52	0.42	SAP
ST-SS02	1.79	0.03	7.07	51.99	0.32	32.66	0.60	2.56	3.95	1.59	0.63	SAP
ST-SS03	1.65	0.04	14.15	50.21	0.65	16.37	1.12	4.06	8.58	3.07	0.34	SAP
ST-SS04	1.53	0.04	12.43	51.17	0.41	20.81	0.99	2.95	8.12	2.46	0.41	SAP
ST-SS05	1.20	0.02	6.72	62.94	1.22	23.55	0.63	2.70	6.86	2.67	0.39	SAP
ST-SS06	2.20	0.03	9.93	49.45	0.25	26.63	0.84	2.95	4.51	1.86	0.54	SAP
ST-SS07	1.69	0.03	10.53	52.07	0.13	22.64	0.78	2.94	6.23	2.30	0.44	SAP
ST-BR01	0.43	0.03	7.81	44.46	0.95	33.82	0.63	1.21	18.16	1.31	0.78	BR



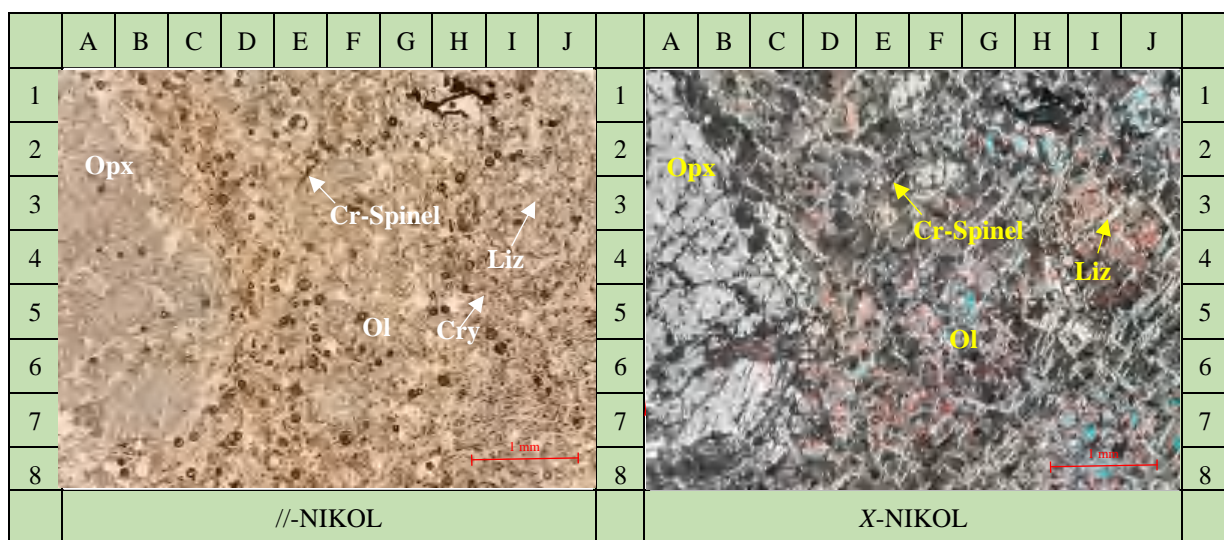


Optimized using
trial version
www.balesio.com



Optimized using
trial version
www.balesio.com

No lampiran / No Sampel : ST 01

Foto*Perbesaran Okuler 10 X**Perbesaran Objektif 4X**Perbesaran Total 40X***Tipe Batuan** : Beku Ultramafik**Tipe Struktur** : Masif**Klasifikasi** : Modifikasi Streckeisen 1976**Deskripsi Mikroskopis :**

Warna absorpsi tidak berwarna – putih kecoklatan, warna interferensi putih keabu-abuan hingga kuning dan biru (orde I), tekstur batuan kristalinitas holokratalin, granularitas faneritik, fabrik equigranular, bentuk mineral subhedral-anhedral, ukuran mineral 0,1-2 mm, komposisi mineral olivin, ortopiroksin, Cr-spinel dan serpentin. Tekstur khusus mineral serpentin berupa mesh dan veinlet memasuki celah-celah mineral olivin dan piroksin yang mengindikasi terjadinya proses serpentinisasi.

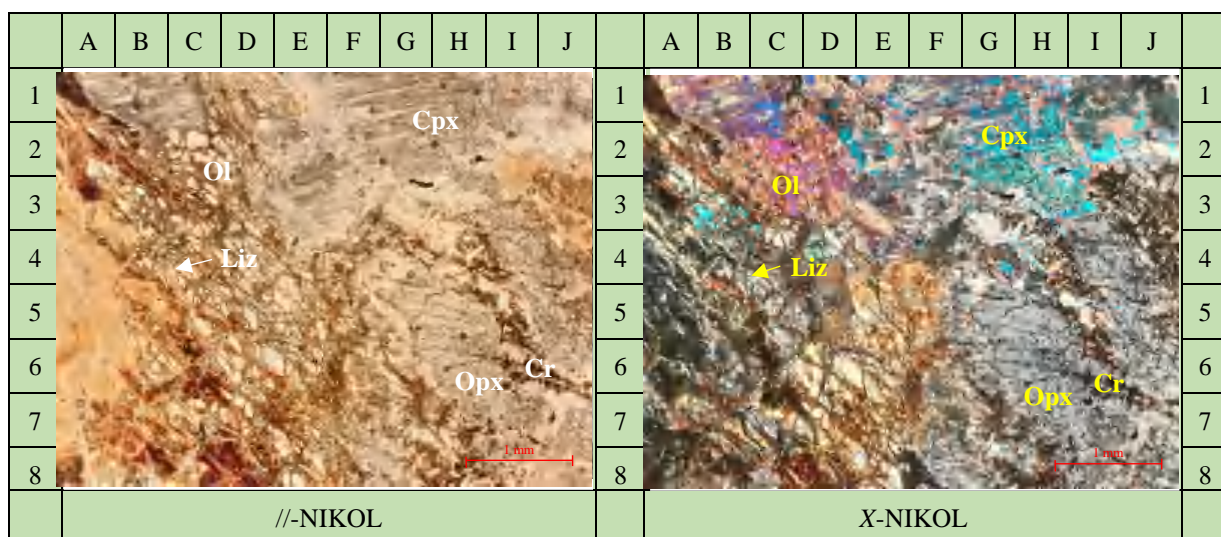
Deskripsi Mineralogi

Komposisi Mineral	Jumlah (%)	Keterangan Optik Mineral
Mineral Primer		
Olivin (Ol)	52	Warna absorpsi tidak berwarna, warna interferensi biru keunguan (orde II), relief tinggi, intensitas sedang, belahan tidak ada, pecahan tidak rata, bentuk mineral subhedral-anhedral ukuran mineral 0,1-2 mm, sudut gelapan 25° jenis pemadaman miring, Tanda optik (-), orientasi optik <i>length slow</i>
Ortopiroksin (Opx)	29	Warna absorpsi tidak berwarna, warna interferensi abu-abu (orde I), relief rendah, intensitas sedang, belahan satu arah, pecahan tidak rata, bentuk mineral subhedral-anhedral ukuran mineral 0,5-2 mm, sudut pemadaman 1°, jenis pemadaman paralel, orientasi optik <i>length slow</i> , tanda optik (+)
Cr-spinel	1	Warna absorpsi coklat kehitaman, warna interferensi hitam kecoklatan (Orde I), relief sedang, intensitas lemah, pecahan tidak rata, bentuk mineral subhedral-anhedral ukuran mineral 0.1 – 0.3 mm, orientasi optik <i>length fast</i> .
Mineral sekunder		
Lizardite (Liz)	18	Warna absorpsi colourless, relief rendah, intensitas sedang, pleokroisme monokroik, belahan tidak ada, pecahan tidak rata, bentuk anhedral, warna interferensi Putih. Tekstur khusus <i>mesh</i> .

rigit terserpentinisasi



No lampiran / No Sampel : ST 02

Foto*Perbesaran Okuler 10 X**Perbesaran Objektif 4X**Perbesaran Total 40X*

Tipe Batuan	: Beku Ultrabasa
Tipe Struktur	: Masif
Klasifikasi	: Modifikasi Streckeisen 1976
Deskripsi Mikroskopis :	

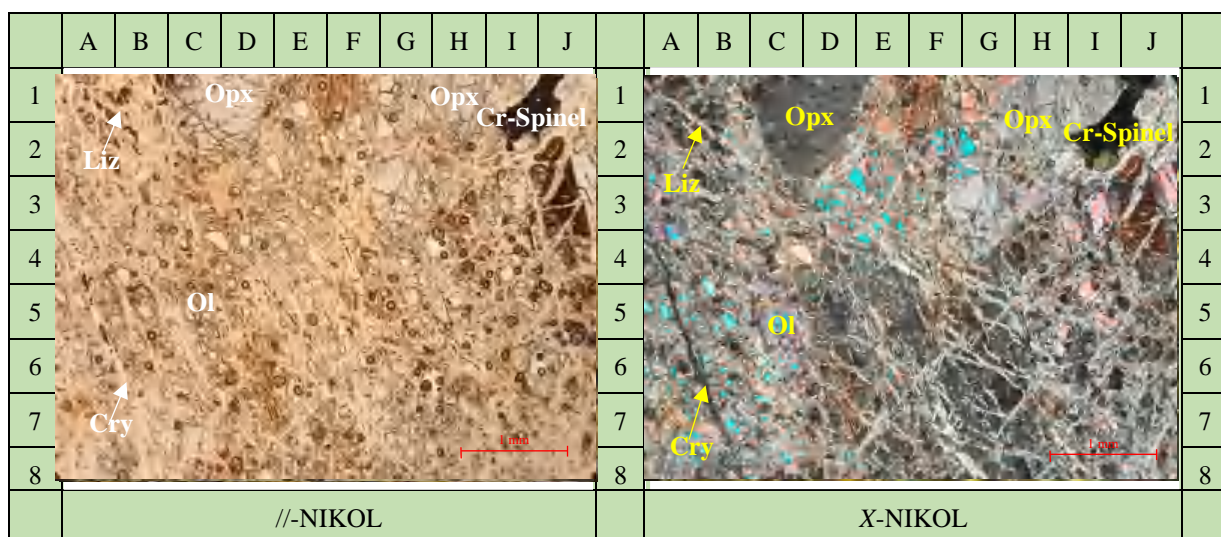
Warna absorpsi tidak berwarna – putih kecoklatan, warna interferensi kuning hingga biru (orde II), tekstur batuan kristalinitas holokritalic, granularitas faneritik, fabrik equigranular, bentuk mineral subhedral-anhedral, ukuranmineral 0,1-2 mm, komposisi mineral olivin, ortopiroksin, klinopiroksin, Cr-spinel dan serpentin. Tekstur khusus mineral serpentin berupa *veinlet* memasuki celah-celah mineral olivin dan piroksin yang mengindikasi terjadinya proses serpentinisasi.

Deskripsi Mineralogi

Komposisi Mineral	Jumlah (%)	Keterangan Optik Mineral
Mineral Primer		
Olivin (Ol)	20	Warna absorpsi tidak berwarna, warna interferensi kuning keunguan (orde II), relieftinggi, intensitas sedang, belahan tidak ada, pecahan tidak rata, bentuk mineral subhedral-anhedral ukuran mineral 0,1-0,5 mm, sudut gelapan 32°, jenis pemadaman miring, Tandaoptik (-), orientasi optik <i>length slow</i>
Ortopiroksin (Opx)	30	Warna absorpsi tidak berwarna, warna interferensi abu-abu (orde I), relief rendah, intensitas sedang, belahan satu arah, pecahan tidak rata, bentuk mineral subhedral-anhedral ukuran mineral 0,5-1,5 mm, sudut pemadaman 1°, jenis pemadaman paralel, orientasi optik <i>length slow</i> , tanda optik (+)
Klinopiroksin (Cpx)	35	Warna absorpsi tidak berwarna, warna interferensi kuning kecoklatan (orde II), relief sedang, intensitas sedang, belahan satu arah, pecahan tidak rata, bentuk mineral subhedral-anhedral ukuran mineral 1 – 2 mm, sudut pemadaman 13°, jenis pemadaman miring, orientasi optik <i>length slow</i>
Cr-spinel	2	Warna absorpsi coklat kehitaman, warna interferensi hitam kecoklatan (Orde I), relief sedang, intensitas lemah, pecahan tidak rata, bentuk mineral subhedral-anhedral ukuran mineral 0.1 – 0.3 mm, orientasi optik <i>length fast</i> .
Mineral sekunder		
	18	Warna absorpsi colourless, relief rendah, intensitas sedang, pleokroisme monokroik, belahan tidak ada, pecahan tidak rata, bentuk anhedral, warna interferensi Putih. Tekstur khusus <i>mesh</i> .

Websterite terserpentinisasi

No lampiran / No Sampel : ST 03

Foto*Perbesaran Okuler 10 X**Perbesaran Objektif 4X**Perbesaran Total 40X*

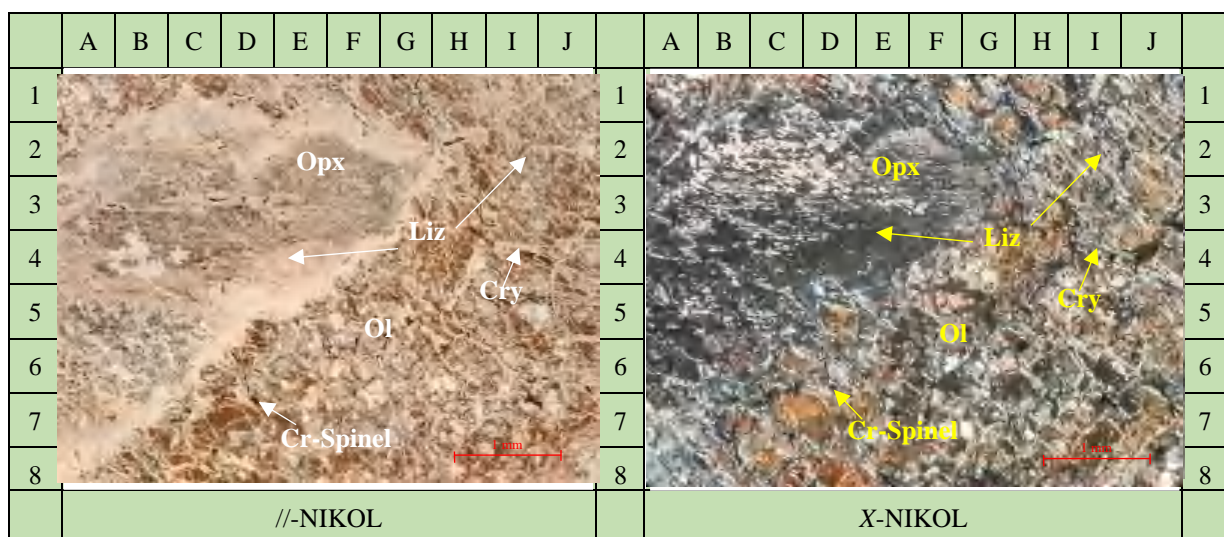
Tipe Batuan	: Beku Ultramafik
Tipe Struktur	: Masif
Klasifikasi	: Modifikasi Streckeisen 1976
Deskripsi Mikroskopis :	

Warna absorpsi tidak berwarna – putih kecoklatan, warna interferensi putih keabu-abuan hingga biru (orde II), tekstur batuan kristalinitas holokritalic, granularitas faneritik, fabrik equigranular, bentuk mineral subhedral-anhedral, ukuran mineral 0,1-2 mm, komposisi mineral olivin, ortopiroksin, Cr-spinel dan serpentinit. Tekstur khusus mineral serpentinit berupa *veinlet* memasuki celah-celah mineral olivin, dan tekstur mesh yang mengindikasi terjadinya proses serpentinisasi.

Deskripsi Mineralogi

Komposisi Mineral	Jumlah (%)	Keterangan Optik Mineral
Mineral Primer		
Olivin (Ol)	45	Warna absorpsi tidak berwarna, warna interferensi biru (orde II), relief tinggi, intensitas sedang, belahan tidak ada, pecahan tidak rata, bentuk mineral subhedral-anhedral ukuran mineral 0,1-0,5 mm, sudut gelapan 32°, jenis pemadaman miring, Tanda optik (-), orientasi optik <i>length slow</i>
Ortopiroksin (Opx)	30	Warna absorpsi tidak berwarna, warna interferensi abu-abu (orde I), relief rendah, intensitas sedang, belahan satu arah, pecahan tidak rata, bentuk mineral subhedral-anhedral ukuran mineral 0,5-2 mm, sudut pemadaman 2°, jenis pemadaman paralel, orientasi optik <i>length slow</i> , tanda optik (+)
Cr-spinel	1	Warna absorpsi coklat kehitaman, warna interferensi hitam kecoklatan (Orde I), relief sedang, intensitas lemah, pecahan tidak rata, bentuk mineral subhedral-anhedral ukuran mineral 0.1 – 0.3 mm, orientasi optik <i>length fast</i> .
Mineral sekunder		
Chrysotile (Cry)	5	Warna absorpsi colourless, relief rendah, intensitas sedang, pleokroisme monokroik, belahan tidak ada, pecahan tidak ada, bentuk anhedral, warna interferensi Abu-abu. Tekstur khusus <i>veinlet</i> memasuki celah-celah mineral olivin dan piroksin
	19	Warna absorpsi colourless, relief rendah, intensitas sedang, pleokroisme monokroik, belahan tidak ada, pecahan tidak rata, bentuk anhedral, warna interferensi Putih. Tekstur khusus <i>mesh</i> .
Ringkasan Terserpentinisasi		

No lampiran / No Sampel : ST 04

Foto*Perbesaran Okuler 10 X**Perbesaran Objektif 4X**Perbesaran Total 40X*

Tipe Batuan	: Beku Ultrabasa
Tipe Struktur	: Masif
Klasifikasi	: Modifikasi Streckeisen 1976
Deskripsi Mikroskopis :	

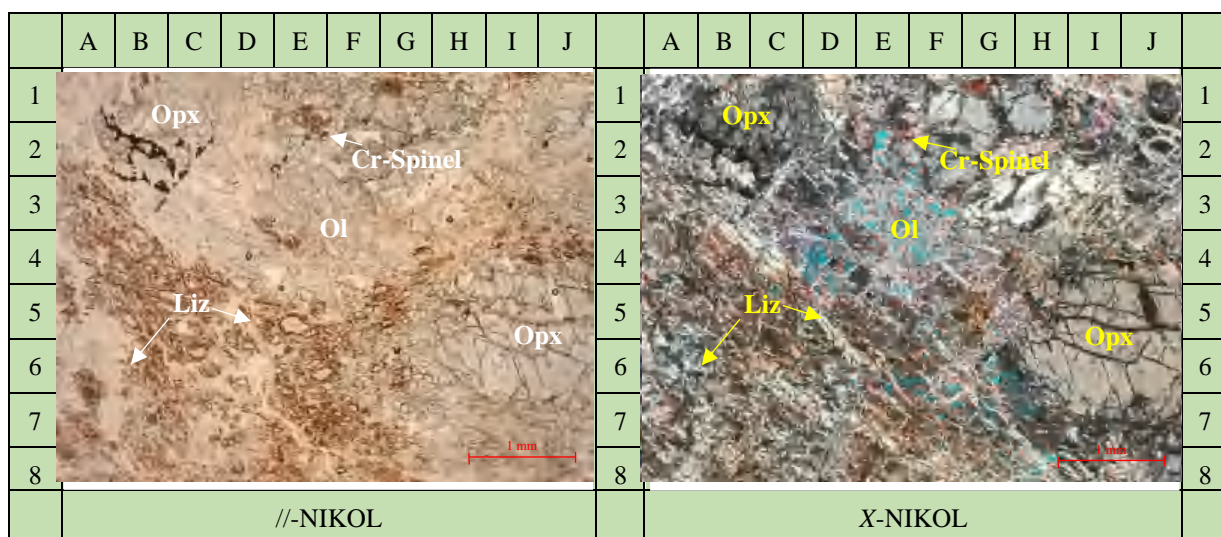
Warna absorpsi tidak berwarna – putih kecoklatan, warna interferensi Abu-abu hingga Kuning Kecoklatan (orde II), tekstur batuan kristalinitas holokritalin, granularitas faneritik, fabrik equigranular, bentuk mineral subhedral-anhedral, ukuranmineral 0,1-2,5 mm, komposisi mineral olivin, ortopiroksin, Cr-spinel dan serpentin. Tekstur khusus mineral serpentin berupa *veinlet* memasuki celah-celah mineral olivin, tekstur bastite dan *mesh* yang mengindikasi terjadinya proses serpentinisasi.

Deskripsi Mineralogi

Komposisi Mineral	Jumlah (%)	Keterangan Optik Mineral
Mineral Primer		
Olivin (Ol)	45	Warna absorpsi tidak berwarna, warna interferensi kuning hingga biru (orde II), relief tinggi, intensitas sedang, belahan tidak ada, pecahan tidak rata, bentuk mineral subhedral-anhedral ukuran mineral 0,1-0,5 mm, sudut gelapan 27°, jenis pemandaman miring, Tanda optik (-), orientasi optik <i>length slow</i>
Ortopiroksin (Opx)	35	Warna absorpsi tidak berwarna, warna interferensi abu-abu (orde I), relief rendah, intensitas sedang, belahan satu arah, pecahan tidak rata, bentuk mineral subhedral-anhedral ukuran mineral 0,5-2,5 mm, sudut pemandaman 4°, jenis pemandaman paralel, orientasi optik <i>length slow</i> , tanda optik (+)
Cr-spinel	1	Warna absorpsi coklat kehitaman, warna interferensi hitam kecoklatan (Orde I), relief sedang, intensitas lemah, pecahan tidak rata, bentuk mineral subhedral-anhedral ukuran mineral 0,01 – 0,3 mm, orientasi optik <i>length fast</i> .
Mineral sekunder		
Chrysotile (Cry)	4	Warna absorpsi colourless, relief rendah, intensitas sedang, pleokroisme monokroik, belahan tidak ada, pecahan tidak ada, bentuk anhedral, warna interferensi abu-abu. Tekstur khusus <i>veinlet</i> memasuki celah-celah mineral olivin dan piroksin
	15	Warna absorpsi colourless, relief rendah, intensitas sedang, pleokroisme monokroik, belahan tidak ada, pecahan tidak rata, bentuk anhedral, warna interferensi Putih hingga abu-abu, Tekstur khusus <i>Bastite</i> dan <i>mesh</i> .
rigit terserpentinisasi		



No lampiran / No Sampel : ST 05

Foto*Perbesaran Okuler 10 X**Perbesaran Objektif 4X**Perbesaran Total 40X*

Tipe Batuan	: Beku Ultrabasa
Tipe Struktur	: Masif
Klasifikasi	: Modifikasi Streckeisen 1976
Deskripsi Mikroskopis :	

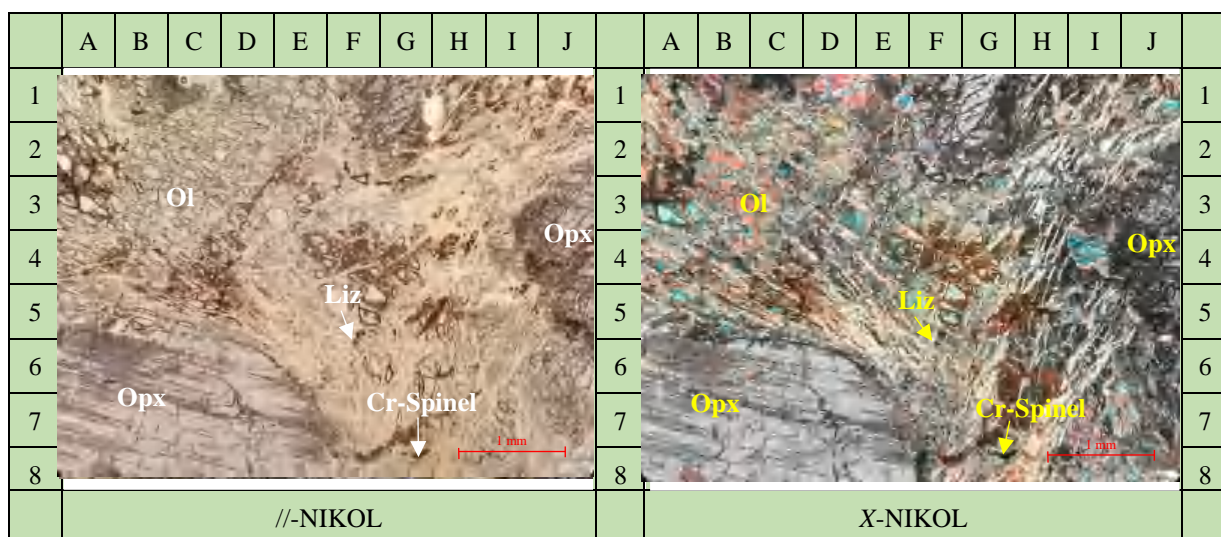
Warna absorpsi tidak berwarna – putih kecoklatan, warna interferensi kuning hingga biru keunguan (orde II), tekstur batuan kristalinitas holokritalic, granularitas faneritik, fabrik equigranular, bentuk mineral subhedral-anhedral, ukuran mineral 0,1-1,5 mm, komposisi mineral oliven, ortopiroksin, Cr-spinel dan serpentin. Tekstur khusus mineral serpentin berupa *Bastite* dan tekstur *mesh* yang mengindikasi terjadinya proses serpentinisasi.

Deskripsi Mineralogi

Komposisi Mineral	Jumlah (%)	Keterangan Optik Mineral
Mineral Primer		
Olivin (Ol)	44	Warna absorpsi tidak berwarna, warna interferensi biru (orde II), relief tinggi, intensitas sedang, belahan tidak ada, pecahan tidak rata, bentuk mineral subhedral-anhedral ukuran mineral 0,1-0,7 mm, sudut gelapan 33° , jenis gelapan miring, Tandaoptik (-), orientasi optik <i>length slow</i> .
Ortopiroksin (Opx)	39	Warna absorpsi tidak berwarna, warna interferensi abu-abu (orde II), relief rendah, intensitas sedang, belahan satu arah, pecahan tidak rata, bentuk mineral subhedral-anhedral ukuran mineral 0,2-1,5 mm, sudut pemandaman 1° , jenis pemandaman paralel, orientasi optik <i>length slow</i> , tanda optik (+).
Cr-spinel	1	Warna absorpsi coklat kehitaman, warna interferensi hitam kecoklatan (Orde I), relief sedang, intensitas lemah, pecahan tidak rata, bentuk mineral subhedral-anhedral ukuran mineral 0.1 – 0.3 mm, orientasi optik <i>length fast</i> .
Mineral sekunder		
Lizardite (Liz)	16	Warna absorpsi colourless, relief rendah, intensitas sedang, pleokroisme monokroik, belahan tidak ada, pecahan tidak rata, bentuk anhedral, warna interferensi Putih, tekstur mesh. Tekstur khusus <i>mesh</i> .

Nama Batuan : Hazburgit terserpentinisasi

No lampiran / No Sampel : ST 06

Foto

Perbesaran Okuler 10 X

Perbesaran Objektif 4X

Perbesaran Total 40X

Tipe Batuan	: Beku Ultrabasa
Tipe Struktur	: Masif
Klasifikasi	: Modifikasi Streckeisen 1976
Deskripsi Mikroskopis :	

Warna absorpsi tidak berwarna – putih kecoklatan, warna interferensi kuning hingga biru kehijauan (orde II), tekstur batuan kristalinitas holokritalic, granularitas faneritik, fabrik equigranular, bentuk mineral subhedral-anhedral, ukuran mineral 0,1-2,5 mm, komposisi mineral olivin, ortopiroksin, Cr-spinel dan serpentinit. Tekstur khusus mineral serpentinit berupa *veinlet* memasuki celah-celah mineral olivin dan tekstur *mesh* yang mengindikasi terjadinya proses serpentinisasi.

Deskripsi Mineralogi

Komposisi Mineral	Jumlah (%)	Keterangan Optik Mineral
Mineral Primer		
Olivin (Ol)	42	Warna absorpsi tidak berwarna, warna interferensi biru hingga hijau(orde II), relief tinggi, intensitas sedang, belahan tidak ada, pecahan tidak rata, bentuk mineral subhedral-anhedral ukuran mineral 0,1-0,5 mm, sudut gelapan 35°, jenis gelapan miring, Tanda optik (-), orientasi optik <i>length slow</i>
Ortopiroksin (Opx)	37	Warna absorpsi tidak berwarna, warna interferensi abu-abu (orde I), relief rendah, intensitas sedang, belahan satu arah, pecahan tidak rata, bentuk mineral subhedral-anhedral ukuran mineral 0,5-2,5 mm, sudut pemandaman 1°, jenis pemandaman paralel, orientasi optik <i>length slow</i> , tanda optik (+)
Cr-spinel	1	Warna absorpsi coklat kehitaman, warna interferensi hitam kecoklatan (Orde I), relief sedang, intensitas lemah, pecahan tidak rata, bentuk mineral subhedral-anhedral ukuran mineral 0.1 – 0.3 mm, orientasi optik <i>length fast</i> .
Mineral sekunder		
Lizardite (Liz)	20	Warna absorpsi colourless, relief rendah, intensitas sedang, pleokroisme monokroik, belahan tidak ada, pecahan tidak rata, bentuk anhedral, warna interferensi Putih, tekstur mesh. Tekstur khusus <i>mesh</i> .
Nama Batuan : Hazburgit terserpentinisasi		

